

# Abtastung und Quantisierung

## Abtasttheorem

$$f_s \geq 2 f_{\max} = f_{s,N}$$

## Nyquist-Frequenz

$$f_N = \frac{1}{2} f_s$$

## Nyquist-Rate

$$f_{s,N} = 2 f_{\max}$$

**Abtastung im Frequenzbereich** Für  $x_k = x(t + k/f_s)$

$$X_{\text{sampled}}(f) = f_s \sum_{n=-\infty}^{\infty} X(f - n f_s)$$

**Grenzfrequenz Rekonstruktions-Tiefpass-Filter (RLP)**

$$f_{\max} < f_{\text{RLP}} < f_s - f_{\max}$$

**Signal to Quantization Noise Ratio bei  $N_Q$  Bits**

$$\text{SQNR}|_{\text{dB}} \approx N_Q \text{ dB} - \text{const.}$$

## Erstes Nyquist-Kriterium

Bei der Schrittgeschwindigkeit  $R_s = \frac{1}{T_s}$  erfüllt ein Impuls  $g(t)$  das erste Nyquist-Kriterium, wenn

$$g(t) \stackrel{!}{=} \begin{cases} 1 & t = 0 \\ 0 & t = k T_s, \quad k \neq 0, \quad k \in \mathbb{Z} \end{cases} \quad (\text{Zeitbereich})$$

$\Leftrightarrow$

$$\frac{\omega_s}{2\pi} \sum_{k=-\infty}^{\infty} G(\omega - k\omega_s) \stackrel{!}{=} 1 \quad \text{mit } \omega_s = \frac{2\pi}{T_s} \quad (\text{Frequenzbereich})$$

Frequenzbereich intuitiv: Um  $\dots, -\omega_s, 0, \omega_s, 2\omega_s, \dots$  verschobene Spektren addieren sich zu 1 auf! Wenn das erste Nyquist-Kriterium erfüllt ist, dann gibt es keine Intersymbol-Interferenz (ISI).

**Hinweis:** Das zweite Nyquist-Kriterium ist heute kaum noch praxisrelevant.

## Raised-Cosine-Impulsformung

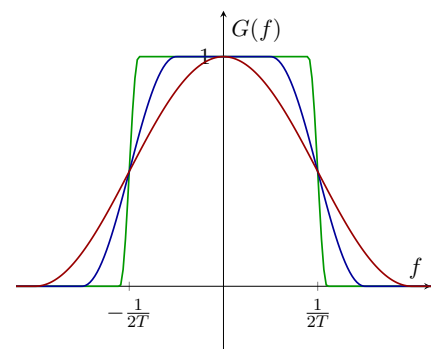
$\alpha \dots$  "roll-off"-Faktor,  $T = \frac{1}{R_s}$  mit  $R_s \dots$  Symbolrate. Für  $\alpha = 0$  ist der Raised-Cosine-Impuls ein sinc-Impuls, d.h. ein idealer Tiefpass.

### Spektrum $G(f)$

$$G(f) = \begin{cases} 1 & |f| \leq \frac{1-\alpha}{2T} \\ \frac{1}{2} \left( 1 + \cos \left( \frac{\pi T}{\alpha} \left( |f| - \frac{1-\alpha}{2T} \right) \right) \right) & \frac{1-\alpha}{2T} \leq |f| \leq \frac{1+\alpha}{2T} \\ 0 & \text{sonst} \end{cases}$$

### Impulsantwort $g(t)$

$$g(t) T = \begin{cases} 1 & t = 0 \\ \frac{\sin(\pi/(2\alpha))}{\pi/(2\alpha)} \frac{\pi}{4} & |t| = \frac{T}{2\alpha} \\ \frac{\sin(\pi t/T)}{\pi t/T} \frac{\cos(\alpha \pi t/T)}{1 - (2\alpha t/T)^2} & \text{sonst} \end{cases}$$



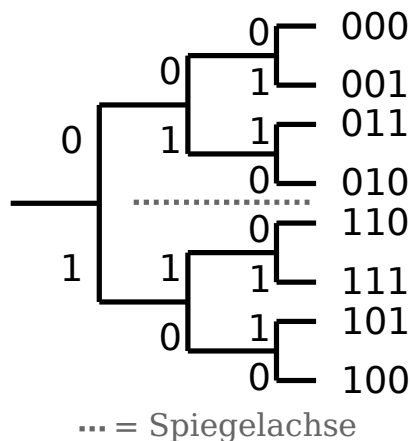
### Basisband-Bandbreite

$$B_{\text{BB}} = \frac{1}{2} (1 + \alpha) R_s$$

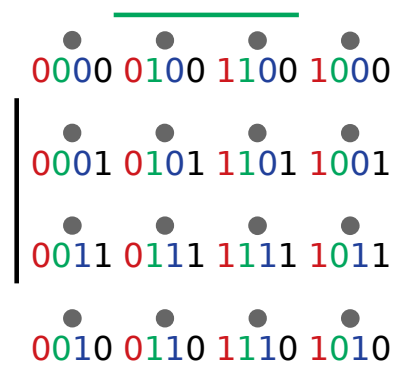
### Bandpassbereich-Bandbreite

$$B_{\text{BP}} = (1 + \alpha) R_s$$

## Gray-Labeling



Konstruktion eines Gray-Codes mit Baum. Damit sich nur je ein Bit verändert, muss die Beschriftung symmetrisch sein.



Gray-Labeling einer 16-QAM. Beschriftung mit Variablen wie bei Karnaugh-Diagramm und Wert  $n$ -ter Variable der  $n$ -ten Stelle zuordnen.

## Puls-Amplituden Modulation (PAM)

$$a_k \in \{-(M-1) + 2l \mid l = 0, \dots, M-1\}$$

Für Normierung  $P_S = E[|\tilde{a}_k|^2] \stackrel{!}{=} 1$  wähle

$$\tilde{a}_k = \text{norm} \cdot a_k \quad \text{mit} \quad \text{norm} = \frac{1}{\sqrt{\frac{M^2-1}{3}}}$$



Konstellation der (unnormierten) Symbole  $a_k$

## Rauschen und Symbolfehlerwahrscheinlichkeit

### SNR, Signalleistung und Varianz

Sei  $\sigma^2 \dots$  Varianz der Gaußverteilung und  $E_s \dots$  Signalleistung.

Für **reelles Basisband (AM)** gilt:

$$\text{SNR}_s = \frac{P_{\text{signal}}}{P_{\text{noise}}} = \frac{E_s}{N_0} = \frac{E_s}{\sigma^2} \xrightarrow{E_s=1} \sigma = \frac{1}{\sqrt{\text{SNR}_s}}$$

Für **komplexes Basisband (QAM)** teilt sich die Rauschleistung auf beide Dimensionen auf:

$$\text{SNR}_s = \frac{P_{\text{signal}}}{P_{\text{noise}}} = \frac{E_s}{N_0} = \frac{E_s}{2\sigma^2} \xrightarrow{E_s=1} \sigma = \frac{1}{\sqrt{2\text{SNR}_s}}$$

Die mittlere **Signalleistung**  $P_{\text{signal}} = E_s$  ist durch den Erwartungswert der Symbolleistung ( $x_k \in \mathbb{C}$  sind die Symbole) gegeben:

$$E_s = E[|x_k|^2] = \sum_k P_k |x_k|^2$$

## Allgemein

$$p_n(\xi) = \frac{1}{\sqrt{2\pi}\sigma} e^{-\frac{1}{2\sigma^2} |\xi|^2} \quad \text{mit } \xi \in \mathbb{C} \text{ oder } \xi \in \mathbb{R}$$

$$P[n \leq c] = \int_{-\infty}^c p_n(\xi) d\xi = \text{CDF} \left( \frac{c}{\sigma} \right) = \Phi \left( \frac{c}{\sigma} \right)$$

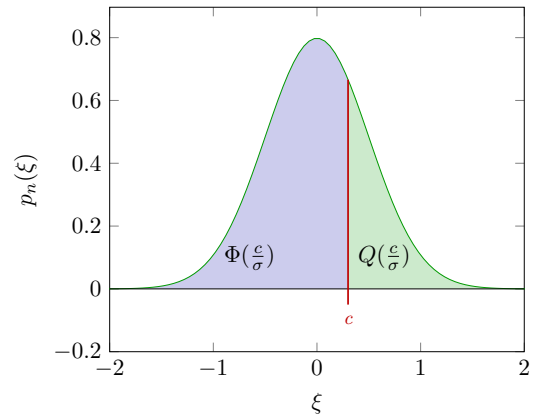
$$P[n > c] = \int_c^{\infty} p_n(\xi) d\xi = \text{CCDF} \left( \frac{c}{\sigma} \right) = Q \left( \frac{c}{\sigma} \right)$$

$$\Phi(x) = Q(-x)$$

$$Q(x) = 1 - \Phi(x)$$

$$\Rightarrow \Phi(x) = 1 - \Phi(-x), \quad Q(x) = 1 - Q(-x)$$

Wahrscheinlichkeitsdichte für  $n \sim \mathcal{N}(0, \sigma^2)$



## Für verschiedene Modulationsarten

Mit Basisbandrauschleistung  $N_0 = 2\sigma_n^2$  ergibt sich Basisband-SNR zu  $\text{SNR}_s = \frac{E_s}{N_0}$ .

	SER, $P_{s,\text{err}}$	BER, $P_{b,\text{err}}, *$
BPSK	$Q(\sqrt{2} \text{SNR}_s)$	$Q(\sqrt{2} \text{SNR}_b)$
QPSK	$\sim 2 Q(\sqrt{\text{SNR}_s})$	$Q(\sqrt{2} \text{SNR}_b)$
M-PSK	$\sim 2 Q(\sqrt{2 \text{SNR}_s} \sin(\pi/M))$	$\sim \frac{2}{\text{ld}(M)} Q(\sqrt{2 \text{SNR}_b \text{ld}(M)} \sin(\pi/M))$
M-PAM	$2 \left(1 - \frac{1}{M}\right) Q\left(\sqrt{\frac{6}{M^2-1}} \text{SNR}_s\right)$	$\sim \frac{2}{\text{ld}(M)} \left(1 - \frac{1}{M}\right) Q\left(\sqrt{\frac{6 \text{ld}(M)}{M^2-1}} \text{SNR}_b\right)$
M-QAM	$\sim 4 Q\left(\sqrt{\frac{3 \text{SNR}_s}{M-1}}\right)$	$\sim \frac{4}{\text{ld}(M)} Q\left(\sqrt{\frac{3 \text{SNR}_b \text{ld}(M)}{M-1}}\right)$

\* Für Coderate  $R_c = 1$  (keine Redundanzcodierung) folgt  $\text{SNR}_b = \frac{\text{SNR}_s}{M_b} = \frac{\text{SNR}_s}{\text{ld}(M)}$ .

Näherung für hohes SNR und Gray-Labeling:

$$P_{s,\text{err}} = M_b P_{b,\text{err}}$$

## QAM

Möchte Basisbandsignal  $z(t) \in \mathbb{C}$  zu Bandpasssignal  $u(t)$  mit Trägerfrequenz  $f_0$ ,  $\omega_0 = 2\pi f_0$  modulieren.

Komplexe Darstellung (Fouriertransformation mit  $\text{Re}(z) = \frac{1}{2}(z + z^*)$ ):

$$u(t) = \text{Re}\{x(t) e^{j\omega_0 t}\} \quad \circ \bullet \quad U(f) = \frac{1}{2} (X(f - f_0) + X(f + f_0))$$

Reelle Darstellung:

$$u(t) = \text{Re}\{x(t)\} \cos(\omega_0 t) - \text{Im}\{x(t)\} \sin(\omega_0 t) \quad \circ \bullet \quad U(f) = \frac{1}{2} (X(f - f_0) + X(f + f_0))$$

## Einseitenband-AM und Hilbertfilter

Idee: Ein analytisches Signal enthält keine negativen Frequenzen. Aus einem reellen Signal  $x(t) \in \mathbb{R}$  kann ein analytisches Signal  $z(t) \in \mathbb{C}$  ohne Informationsverlust erzeugt werden durch Filterung mit  $F(f) = 1 + \text{sgn}(f)$ :

$$Z(f) = X(f) F(f) = X(f) (1 + \text{sgn}(f)) = X(f) + X(f) \text{sgn}(f)$$

Mit  $\text{sgn}(f) \bullet \longrightarrow \frac{j}{\pi t}$  folgt Basisbandsignal für **upper sideband (USB)**-Modulation:

$$z_{\text{USB}}(t) = x(t) + j \left( x(t) * \frac{1}{\pi t} \right)$$

Analog folgt durch Filterung mit  $F(f) = 1 - \text{sgn}(f)$  für **lower sideband (LSB)**-Modulation:

$$z_{\text{LSB}}(t) = x(t) - j \left( x(t) * \frac{1}{\pi t} \right)$$

$\implies z_{\text{USB}}(t)$  bzw.  $z_{\text{LSB}}(t)$  dann einer QAM zuführen!

Das Filter

$$g(t) = \frac{1}{\pi t}$$

wird **Hilbertfilter** genannt.

## Digitale QAM

Der **constellation mapper** ordnet den Symbolen  $M$  verschiedene I/Q-Werte (Konstellationen) zu. Pro Symbol werden also

$$M_b = \text{ld } M \left[ \frac{\text{bit}}{\text{symbol}} \right]$$

Bits übertragen. Mit einer **Symbolrate** (= Schrittgeschwindigkeit)  $R_s \left[ \frac{\text{symbol}}{s} = \text{Baud} \right]$  ergibt sich die **Bitrate**  $R_b$  zu

$$R_b = M_b R_s \left[ \frac{\text{bit}}{s} \right]$$

## Sender- / Empfängerunzulänglichkeiten

### Rauschen im Sender

TX-Rauschen wird durch den EVM-Wert (Error Vector Magnitude) angegeben. Am Senderausgang gilt:

$$\text{EVM} = \frac{1}{\text{SNR}} \quad \Leftrightarrow \quad \text{EVM}_{\text{dB}} = -\text{SNR}_{\text{dB}}$$

### Phasenoffset

Ein geschätztes Phasenoffset von  $\hat{\varphi}$  kann durch Multiplikation der Empfangssymbole mit  $e^{-j\varphi}$  korrigiert werden.

### Frequenzoffset

Für jedes Symbol steigt der Phasenoffset um

$$\varphi_{\text{inc}} = 2\pi f_{\text{off}} T_s$$

## IQ-Imbalance

DC-Offset des Q-Kanals um  $d_{\text{imb}}$ , Phasenoffset des Q-Kanals um  $\varphi_{\text{imb}}$ , Amplitudenoffset des Q-Kanals um  $a_{\text{imb}}$ . Aus idealem Symbol  $s \rightarrow \mathbf{s} = (\text{Re}(s) \ \text{Im}(s))^T$  wird  $s_{\text{imb}} \rightarrow \mathbf{s}_{\text{imb}} = (\text{Re}(s_{\text{imb}}) \ \text{Im}(s_{\text{imb}}))^T$ :

$$\mathbf{s}_{\text{imb}} = \begin{pmatrix} 1 & -a_{\text{imb}} \sin(\varphi_{\text{imb}}) \\ 0 & a_{\text{imb}} \cos(\varphi_{\text{imb}}) \end{pmatrix} \mathbf{s} + \begin{pmatrix} 0 \\ d_{\text{imb}} \end{pmatrix}$$

Schätzung der IQ-Imbalance durch Pilotsymbole, Kompensation durch Inversion der obigen Gleichung.

## OFDM und FFT / iFFT

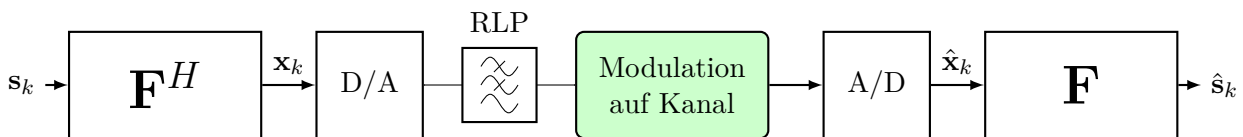
- Ein **OFDM-Symbol** besteht üblicherweise aus  $N_{\text{sub}}$  **QAM-Symbolen** auf den jeweiligen Unterträgern
- OFDM-Symbol-**Schrittgeschwindigkeit**  $R_s = \frac{1}{T_s}$
- **Abtastrate**  $R_{\text{samp}} = \frac{1}{T_{\text{samp}}} = N_{\text{sub}} R_s = \frac{N_{\text{sub}}}{T_s}$
- OFDM-Symbol-Index  $k$  mit  $t = k T_s$
- Abtastwertindex  $m$  ("schnelle Zeit") mit  $t = m T_{\text{samp}}$ , d.h.  $N_{\text{sub}}$  Abtastwerte pro OFDM-Symbol
- Moduliere unterträger mit  $M_b = \text{ld}(M)$  bits pro Symbol

Dann gilt für Bitrate  $R_b$ , Unterträgerabstand  $\Delta f$  und gesamte Bandbreite  $B$ :

$$R_b = M_b N_{\text{sub}} R_s$$

$$B = R_{\text{samp}} = N_{\text{sub}} R_s$$

$$\Delta f = R_s$$



OFDM-Sender und -Empfänger unter der Annahme, dass D/A bzw. A/D-Wandler direkt  $N_{\text{sub}}$  Symbole serialisieren / parallelisieren

Habe für  $k = \lfloor \frac{m}{N_{\text{sub}}} \rfloor$ -ten Zeitschritt

$m = k N_{\text{sub}}, \dots, (k+1) N_{\text{sub}} - 1$	Schnelle Zeit mit $N_{\text{sub}}$ Zeitindizes pro $k$
$s_m \in \mathbb{C}$	$N_{\text{sub}}$ zu sendende Symbole
$\mathbf{s}_k = (s_{kN_{\text{sub}}}, \dots, s_{(k+1)N_{\text{sub}}-1}) \in \mathbb{C}^{N_{\text{sub}} \times 1}$	Frequenzbereichsvektor mit $N_{\text{sub}}$ zu sendenden Symbolen (parallelisiert aus $s_m$ )
$\mathbf{x}_k \in \mathbb{C}^{N_{\text{sub}} \times 1}$	Zeitbereichsvektor mit $N_{\text{sub}}$ zu sendenden Abtastwerten
$x_m = \mathbf{x}_k[m \bmod N_{\text{sub}}] \in \mathbb{C}$	Zu sendende Abtastwerte (serialisiert aus $\mathbf{x}_k$ )

Es gilt (da  $\mathbf{F}$  unitär):

$$\mathbf{x}_k = \mathbf{F}^H \mathbf{s}_k \Leftrightarrow \mathbf{s}_k = \mathbf{F} \mathbf{x}_k, \quad \text{wobei } \mathbf{F}^{-1} = \mathbf{F}^H = \mathbf{F}^*$$

Mit  $W := e^{j\frac{2\pi}{N_{\text{sub}}}}$ :

$$\mathbf{F}^H = \frac{1}{\sqrt{N_{\text{sub}}}} \begin{pmatrix} W^0 & W^0 & W^0 & \dots & W^0 \\ W^0 & W^1 & W^2 & \dots & W^{N_{\text{sub}}-1} \\ W^0 & W^2 & W^4 & \dots & W^{2(N_{\text{sub}}-1)} \\ \vdots & & & \ddots & \vdots \\ W^0 & W^{N_{\text{sub}}-1} & W^{2(N_{\text{sub}}-1)} & \dots & W^{(N_{\text{sub}}-1)^2} \end{pmatrix} \in \mathbb{C}^{N_{\text{sub}} \times N_{\text{sub}}}$$

$$\mathbf{F} = \frac{1}{\sqrt{N_{\text{sub}}}} \begin{pmatrix} W^0 & W^0 & W^0 & \dots & W^0 \\ W^0 & W^{-1} & W^{-2} & \dots & W^{-(N_{\text{sub}}-1)} \\ W^0 & W^{-2} & W^{-4} & \dots & W^{-2(N_{\text{sub}}-1)} \\ \vdots & & & \ddots & \vdots \\ W^0 & W^{-(N_{\text{sub}}-1)} & W^{-2(N_{\text{sub}}-1)} & \dots & W^{-(N_{\text{sub}}-1)^2} \end{pmatrix} \in \mathbb{C}^{N_{\text{sub}} \times N_{\text{sub}}}$$

## Mathe-Formelsammlung

### Additionstheoreme

$$\begin{aligned} \sin(\alpha) \cos(\beta) &= \frac{1}{2}(\sin(\alpha - \beta) + \sin(\alpha + \beta)) & \sin(\alpha + \beta) &= \sin(\alpha) \cos(\beta) + \cos(\alpha) \sin(\beta) \\ \cos(\alpha) \cos(\beta) &= \frac{1}{2}(\cos(\alpha - \beta) + \cos(\alpha + \beta)) & \sin(\alpha - \beta) &= \sin(\alpha) \cos(\beta) - \cos(\alpha) \sin(\beta) \\ \sin(\alpha) \sin(\beta) &= \frac{1}{2}(\cos(\alpha - \beta) - \cos(\alpha + \beta)) & \cos(\alpha + \beta) &= \cos(\alpha) \cos(\beta) - \sin(\alpha) \sin(\beta) \\ & & \cos(\alpha - \beta) &= \cos(\alpha) \cos(\beta) + \sin(\alpha) \sin(\beta) \end{aligned}$$

$$\sin^2(\alpha) + \cos^2(\alpha) = 1$$

$$\sin^2(\alpha) - \cos^2(\alpha) = -\cos(2\alpha)$$

$$\cos^2(\alpha) - \sin^2(\alpha) = \cos(2\alpha)$$

$$\cos(x)^2 = \frac{1}{2}(1 + \cos(2x)) \quad \sin(x)^2 = \frac{1}{2}(1 - \cos(2x))$$

### Wichtige Eigenschaften der Fouriertransformation

#### Spiegelung

$$x(-t) \circ \bullet X(-\omega)$$

#### Verschiebung

$$x(t - t_0) \circ \bullet e^{-j\omega t_0} X(\omega)$$

$$e^{j\omega_0 t} x(t) \circ \bullet X(\omega - \omega_0)$$

#### Konjugiert komplex

$$x^*(t) \circ \bullet X^*(-\omega)$$

#### Anfangswert

$$X(0) = \int_{-\infty}^{\infty} x(t) \, dt \quad x(0) = \int_{-\infty}^{\infty} X(\omega) \frac{d\omega}{2\pi}$$

## Wichtige Fouriertransformationen

Sei Definition der Rechteckfunktion:

$$\text{rect}(t) = \begin{cases} 1 & \text{für } |t| < 1 \\ 0 & \text{für } |t| > 1 \end{cases}$$

Seien  $t_0 > 0, \omega_0 > 0$ :

$$\text{rect}\left(\frac{t}{t_0}\right) \longleftrightarrow 2t_0 \text{ sinc}(t_0 \omega)$$

$$\frac{\omega_0}{\pi} \text{ sinc}(\omega_0 t) \longleftrightarrow \text{rect}\left(\frac{\omega}{\omega_0}\right)$$

$$\cos(\omega_0 t - \varphi) \longleftrightarrow \pi [\delta(\omega - \omega_0) e^{-j\varphi} + \delta(\omega + \omega_0) e^{j\varphi}]$$

$$\sin(\omega_0 t - \varphi) \longleftrightarrow \frac{\pi}{j} [\delta(\omega - \omega_0) e^{-j\varphi} - \delta(\omega + \omega_0) e^{j\varphi}]$$

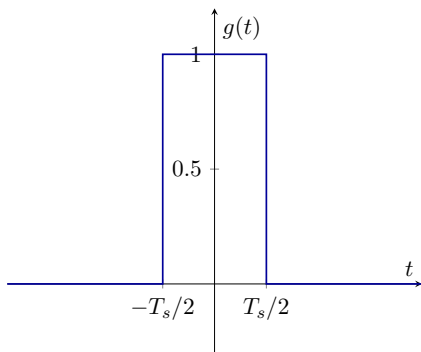
$$x(t) \cos(\omega_0 t - \varphi) \longleftrightarrow \frac{1}{2} [X(\omega - \omega_0) e^{-j\varphi} + X(\omega + \omega_0) e^{j\varphi}]$$

$$x(t) \sin(\omega_0 t - \varphi) \longleftrightarrow \frac{1}{2j} [X(\omega - \omega_0) e^{-j\varphi} - X(\omega + \omega_0) e^{j\varphi}]$$

$$\frac{1}{\pi t} \longleftrightarrow -j \text{sgn}(\omega)$$

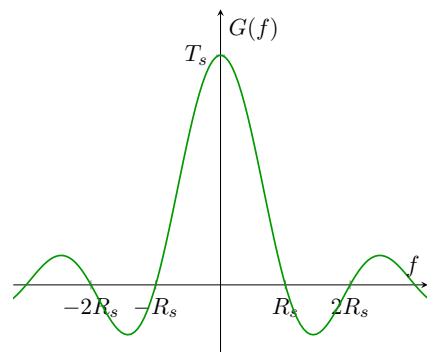
## Rechteckimpulsformer

Rechteckimpuls  $g(t)$  im Zeitbereich

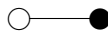


$$g(t) = \text{rect}\left(\frac{t}{T_s/2}\right)$$

sinc-Frequenzspektrum  $G(f)$

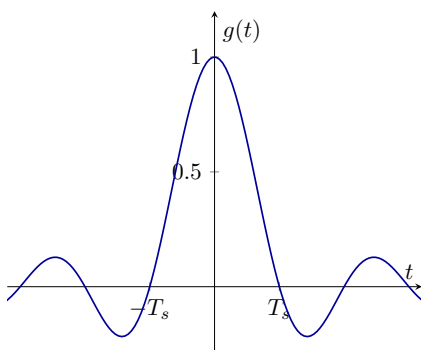


$$G(f) = T_s \text{ sinc}(\pi T_s f) = \frac{1}{R_s} \text{ sinc}\left(\frac{\pi f}{R_s}\right)$$



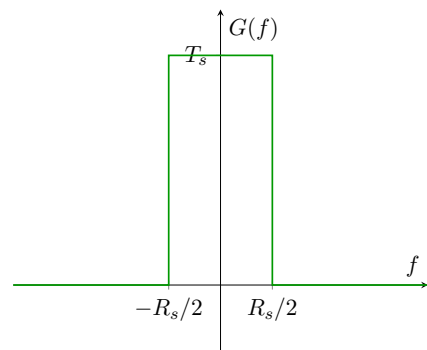
## $\sin(x)/x$ -Impulsformung

$\sin(x)/x$  im Zeitbereich



$$g(t) = \text{sinc}\left(\frac{\pi t}{T_s}\right)$$

rect-Frequenzspektrum  $G(f)$



$$G(f) = T_s \text{ rect}(2T_s f) = \frac{1}{R_s} \text{ rect}\left(\frac{f}{R_s/2}\right)$$